

УДК 621.382

## ПОТЕРИ МОЩНОСТИ ВО ВХОДНОЙ СОГЛАСУЮЩЕЙ ЦЕПИ ОКОНЕЧНОГО КАСКАДА ВЧ (СВЧ) ТРАНЗИСТОРНОГО УСИЛИТЕЛЯ НА ОСНОВНОЙ РАБОЧЕЙ ЧАСТОТЕ

Б. К. Петров, О. М. Булгаков\*, Г. А. Осецкая\*

Воронежский государственный университет

\*Воронежский институт МВД России\*

Получено аналитическое выражение для оценки потерь мощности в согласующих цепях узкодиапазонных ВЧ (СВЧ) транзисторных усилителей. Проведен анализ эффективности конструктивных решений, направленных на снижение потерь мощности путем экранирования магнитных потоков взаимоиндукции во входных контурах транзисторных ячеек.

### ВВЕДЕНИЕ

Повышение выходной мощности  $P_1$  оконечного каскада (ОК) транзисторного радиопередатчика (ТРП) возможно в основном за счет увеличения площади активных областей мощных ВЧ (СВЧ) транзисторов в составе усилителя мощности. В результате, в силу особенностей конструкций мощных ВЧ (СВЧ) транзисторов, обусловленных необходимостью равномерного распределения мощности по транзисторным кристаллам, увеличивается количество  $N$  транзисторных ячеек, и усложняются входные согласующие цепи (ВСЦ) ОК, в частности — геометрия внутренних входных LC-звеньев транзисторов. Это, в свою очередь, приводит к увеличению потерь мощности в ВСЦ ОК за счет неоднородности значений индуктивностей первых звеньев ВСЦ транзисторных ячеек  $L_{1k}$  и их индуктивностей общего вывода  $L_{0k}$  ( $k = 1, \dots, N$ ), обусловленной взаимоиндукцией входных и выходных контуров [1].

### АНАЛИЗ ПОТЕРЬ МОЩНОСТИ

Поскольку потери мощности в ВСЦ ОК узкополосного ВЧ (СВЧ) транзисторного усилителя в основном определяются первым звеном ВСЦ, т.е. ближайшим к транзисторному кристаллу внутренним входным согласующим LC-звеном транзистора [2], получим выражение для расчета потерь мощности за счет вза-

имоиндукции входных и выходных контуров транзисторных ячеек ОК ТРП.

Коэффициент передачи мощности первым звеном ВСЦ ОК на основной рабочей частоте  $f_0$ :

$$K_{\text{PC}1k}(f_0) = \frac{4 \operatorname{Re}\{Z_{1k}(f_0)\} \cdot NR_{T1}}{(NR_{T1} + \operatorname{Re}\{Z_{1k}(f_0)\})^2 + (\operatorname{Im}\{Z_{1k}(f_0)\})^2}, \quad (1)$$

где  $\operatorname{Re}\{Z_{1k}(f_0)\}$ ,  $\operatorname{Im}\{Z_{1k}(f_0)\}$  — действительная и мнимая составляющие входного сопротивления 1-го звена ВСЦ  $k$ -ой транзисторной ячейки:

$$\operatorname{Re}\{Z_{1k}(f_0)\} = \frac{\operatorname{Re}\{Z_{\text{tp}k}(f_0)\}}{(2\pi f_0 \cdot \operatorname{Re}\{Z_{\text{tp}k}(f_0)\} \cdot C_1)^2 + ([2\pi f_0]^2 L_{1k} C_1 - 1)^2}, \quad (2)$$

$$\operatorname{Im}\{Z_{1k}(f_0)\} = \frac{-2\pi f_0 [L_{1k} - (\operatorname{Re}\{Z_{\text{tp}k}(f_0)\})^2 \cdot C_1 - [2\pi f_0]^2 L_{1k}^2 C_1]}{(2\pi f_0 \cdot \operatorname{Re}\{Z_{\text{tp}k}(f_0)\} \cdot C_1)^2 + ([2\pi f_0]^2 L_{1k} C_1 - 1)^2}, \quad (3)$$

$R_{T1}$  — сопротивление эквивалентного генератора для 1-го звена ВСЦ ОК, при оптимальном согласовании равное:

$$R_{T1} = \left[ \sum_{k=1}^N (\operatorname{Re}\{Z_{1k}(f_0)\})^{-1} \right]^{-1},$$

$\operatorname{Re}\{Z_{\text{tp}k}(f_0)\}$  — действительная часть входного сопротивления  $k$ -ой транзисторной

© Петров Б. К., Булгаков О. М., Осецкая Г. А., 2005.

ячейки на основной рабочей частоте, определяемая конструктивно-технологическими параметрами ячейки, схемой включения транзистора и величиной  $L_{0k}$  [2];  $C_1$  — емкость конденсатора 1-го звена ВСЦ.

С другой стороны, при оптимальном согласовании:

$$R_{T1} = K_{tp} \cdot \operatorname{Re}\{Z_{tp}(f_0)\}, \quad (4)$$

где

$$K_{tp} = 1 + \frac{4\pi^2 f_0^2 \cdot L_1^2}{[\operatorname{Re}\{Z_{tp}(f_0)\}]^2}, \quad (5)$$

$K_{tp}$  — коэффициент трансформации входного сопротивления транзистора  $\operatorname{Re}\{Z_{tp}(f_0)\}$  1-м звеном ВСЦ. Для каждой транзисторной ячейки в отдельности

$$K_{tpk} = 1 + \frac{4\pi^2 f_0^2 \cdot L_{1k}^2}{[\operatorname{Re}\{Z_{tpk}(f_0)\}]^2}; \quad (5a)$$

$$N \cdot R_{T1} \approx K_{tpk} \cdot \operatorname{Re}\{Z_{tpk}(f_0)\}. \quad (4a)$$

Знак приближенного равенства в выражении (4a) обусловлен различием величин  $K_{tpk}$  и  $\operatorname{Re}\{Z_{tpk}(f_0)\}$  вследствие разницы значений индуктивностей  $L_{0k}$  и  $L_{1k}$  из-за взаимоиндукции входных контуров ОК.

Для оценки потерь мощности в ВСЦ ОК на основной рабочей частоте  $f_0$  узкополосного транзисторного усилителя, обусловленных неоднородностью индуктивностей  $L_{1k}, L_{0k}$ , найдем полный дифференциал  $K_{PCЦ1}(f_0)$  из выражения (1) с учетом формул (2), ..., (5), как функции величин  $L_{0k}$  и  $L_{1k}$ , характеризующихся средними значениями

соответственно  $\bar{L}_1 = \frac{1}{N} \sum_{k=1}^N L_{1k}$  и  $\bar{L}_0 = \frac{1}{N} \sum_{k=1}^N L_{0k}$ ,

и средними абсолютными отклонениями

$$\overline{\Delta L}_1 = \frac{1}{N} \sum_{k=1}^N |\bar{L}_1 - L_{1k}| \quad \text{и} \quad \overline{\Delta L}_0 = \frac{1}{N} \sum_{k=1}^N |\bar{L}_0 - L_{0k}|.$$

Затем, заменив частные дифференциалы на конечные приращения, равные  $\overline{\Delta L}_1$  и  $\overline{\Delta L}_0$ , получим:

$$\begin{aligned} \delta P(f_0) = 1 - K_{PCЦ1}(f_0) = \overline{\Delta L}_0 \cdot \left\{ \frac{4\xi(f_0)}{\bar{\varphi}^2 + \bar{\beta}^2} \times \right. \\ \times \frac{|\bar{\eta}|}{\bar{R}_{tp} \cdot \bar{\gamma}} + \bar{\rho} \cdot \left\{ \bar{\gamma} \cdot \bar{\chi}^2 - \frac{2\bar{R}_{tp}}{\bar{\varphi}^2 + \bar{\beta}^2} \cdot \left[ \bar{\varphi} \cdot \left( \frac{|\bar{\eta}|}{\bar{R}_{tp}^2} + \frac{\bar{\chi}^2}{\bar{\gamma}^2} \right) + \right. \right. \\ \left. \left. + \frac{2\bar{\beta} \cdot \bar{\theta} \cdot |\bar{\chi}|}{\bar{\gamma}^2} \right] \right\} + \overline{\Delta L}_1 \cdot \left\{ \frac{8\pi f_0}{\bar{\varphi}^2 + \bar{\beta}^2} \times \right. \\ \times \left[ \frac{2\pi f_0 \cdot \bar{L}_1}{\bar{\gamma}} - 2\bar{\rho} \cdot \left\{ \bar{\theta} \cdot |\bar{\chi}| + \frac{\bar{R}_{tp}}{\bar{\varphi}^2 + \bar{\beta}^2} \times \right. \right. \\ \left. \left. \left[ 2\bar{\varphi} \cdot \left( \frac{2\pi f_0 \cdot \bar{L}_1}{\bar{R}_{tp}} - \frac{\bar{\theta} \cdot |\bar{\chi}|}{\bar{\gamma}} \right) + \right. \right. \right. \\ \left. \left. \left. + \frac{\bar{\beta} \cdot (\bar{\gamma} \cdot |2\bar{\chi} + 1| + 4\bar{\beta} \cdot \bar{\theta} \cdot |\bar{\chi}| \cdot 2\pi f_0 \cdot C_1)}{\bar{\gamma}^2} \right] \right\} \right\}, \quad (6) \end{aligned}$$

где

$$\begin{aligned} \bar{R}_{tp} = \operatorname{Re}\{Z_{tpk}(f_0, \bar{L}_0)\}; \quad \bar{\rho} = \bar{R}_{tp} + \frac{(2\pi f_0)^2 \cdot \bar{L}_1^2}{\bar{R}_{tp}}; \\ \bar{\chi} = (2\pi f_0)^2 \cdot \bar{L}_1 \cdot C_1 - 1; \quad \bar{\theta} = 2\pi f_0 \cdot \bar{R}_{tp} \cdot C_1; \\ \bar{\eta} = \bar{R}_{tp}^2 - (2\pi f_0)^2 \cdot \bar{L}_1^2; \quad \bar{\gamma} = \bar{\theta}^2 + \bar{\chi}^2 = \\ = (2\pi f_0 \cdot \bar{R}_{tp} \cdot C_1)^2 + ((2\pi f_0)^2 \cdot \bar{L}_1 \cdot C_1 - 1)^2; \\ \bar{\beta} = \bar{R}_{tp} \cdot \bar{\theta} + 2\pi f_0 \cdot \bar{L}_1 \cdot \bar{\chi} = 2\pi f_0 \cdot \bar{R}_{tp}^2 \cdot C_1 + \\ + (2\pi f_0)^3 \cdot \bar{L}_1^2 \cdot C_1 - 2\pi f_0 \cdot \bar{L}_1; \quad \bar{\varphi} = \bar{\rho} \cdot \bar{\gamma} + \bar{R}_{tp}; \end{aligned}$$

$\xi(f_0) = 2\pi f_0 \cdot \operatorname{Im}\{h_{21}(f_0)\}$  — коэффициент пропорциональности перед  $L_0$  в формулах для расчета входных сопротивлений и коэффициентов усиления по мощности ВЧ и СВЧ транзисторов,  $\operatorname{Im}\{h_{21}(f_0)\}$  — мнимая часть коэффициента передачи тока, определяемого схемой включения и конструктивными параметрами транзистора [3].

Выражение (6) является обобщением на случай ненулевой реактивной составляющей на частоте согласования  $f_0$  полученной в [2] формулы для оценки минимальных потерь в ВСЦ с частичной компенсацией неоднородности индуктивностей  $L_{0k}$  и  $L_{1k}$  подбором емкостей  $C_1$  первых звеньев ВСЦ отдельных транзисторных ячеек.

Неоднородность эквивалентных индуктивностей транзисторных ячеек может характеризоваться относительными величинами:  $\delta L_0 = \overline{\Delta L}_0 / \bar{L}_0$ ;  $\delta L_1 = \overline{\Delta L}_1 / \bar{L}_1$ . Исходя из выражения (6), увеличение  $\delta P(f_0)$  при повышении  $P_1$  может рассматриваться в контексте увеличения  $\delta L_0$  и  $\delta L_1$ , вызванного ростом  $N$ . Соответствующие расчеты для ряда отечественных и зарубежных биполяр-

ных и МДП транзисторов представлены в таблице 1. Большой диапазон приведенных расчетных значений обусловлен особенностями конструкций транзисторов и режимов усиления [1].

Таблица 1

Количество ячеек, $N$	$\delta L_0$	$\delta L_1$	$\delta P(f_0)$
3–4	0,07...0,15	0,06...0,13	0,01...0,06
5–6	0,12...0,26	0,11...0,21	0,03...0,08
7–9	0,20...0,45	0,16...0,29	0,04...0,11
10–12	0,37...0,56	0,20...0,36	0,06...0,014
13–15	0,42...0,62	0,24...0,42	0,06...0,016

Величина потерь мощности в ВСЦ на основной рабочей частоте  $f_0$  может быть охарактеризована эквивалентным сопротивлением потерь:

$R_C(f_0) = R_{T1}(f_0) \cdot \delta P(f_0) = (1 - K_p(f_0)) \cdot R_{T1}(f_0)$ , изображаемым на эквивалентной схеме ОК или транзистора как дополнительное последовательное сопротивление во входной цепи.

### ВЛИЯНИЕ ЭЛЕКТРОМАГНИТНЫХ ЭКРАНОВ НА ПОТЕРИ МОЩНОСТИ

Очевидно, уменьшение  $\delta L_0$  и  $\delta L_1$  требует уменьшения соответствующих абсолютных значений отклонений индуктивностей  $L_{0k}$  и  $L_{1k}$  от средних величин  $\bar{L}_1$  и  $\bar{L}_0$  при постоянстве или сравнительно меньшей убыли последних. В каждой из величин  $L_{0k}$  и  $L_{1k}$ , можно выделить составляющую, обусловленную потоком самоиндукции во входном контуре  $k$ -ой ячейки и не зависящую от местоположения этой ячейки, а потому — одинаковую для всех ячеек ( $L_{1\text{СИ}}$ ,  $L_{0\text{СИ}}$ ), и составляющую, обусловленную взаимоиндукцией входных контуров ( $L_{0\text{ВИ}k}$ ,  $L_{1\text{ВИ}k}$ ) и определяющую зависимость  $L_{0k}$  и  $L_{1k}$  от  $k$ . Среди технических решений, направленных на уменьшение отношений  $L_{1\text{ВИ}}/L_{1\text{СИ}}$  и  $L_{0\text{ВИ}k}/L_{0\text{СИ}}$ , естественный интерес представляет использование проводящих поверхностей, экранирующих потоки взаимоиндукции входных контуров транзисторных ячеек. В конструкциях ОК мощных СВЧ ТРП роль электромагнитных экранов играют участки металлизации и низкоомные полупроводниковые подложки, расположенные в непосредственной близости от проводников, по-

которым протекают рабочие токи транзисторов. Следствием экранирования магнитных потоков является не только уменьшение  $\delta L_1$  и  $\delta L_0$ , но и дополнительные потери входной мощности на наведение вихревых токов в проводящих поверхностях. Соответствующее эквивалентное сопротивление потерь вычисляется [4]:

$$r_{\text{пп}} = 2\pi l_n \sigma d \Theta (\mu \mu_0 f_0)^2 \times \\ \times \left[ \frac{\Theta^2 + d^2}{2\Theta \cdot d} \ln \left( \frac{1 + d/\Theta}{1 - d/\Theta} \right) + \ln \left( 1 - \frac{d^2}{\Theta^2} \right) - 1 \right],$$

для случая  $\delta \ll D$ ,  $D$  — расстояние от оси проводника до экрана,  $\delta$  — толщина скин-слоя в экране, и

$$r_{\text{пп}} = l_n \left[ 2\pi \sigma \delta \sqrt{(D-d)^2 - r_0^2} \right]^{-1},$$

для случая  $\delta \gg D$ . Здесь  $l_n$  и  $r_0$  — длина и радиус проводника,  $\mu$  и  $\sigma$  — магнитная проницаемость и проводимость материала экрана,  $\mu_0 = 4\pi \cdot 10^{-7}$  Гн/м — магнитная постоянная в СИ,  $d$  — толщина проводящего слоя экрана,  $\Theta = \sqrt{D^2 - r_0^2}$ .

При уменьшении расстояния до проводящей поверхности  $D$  одновременно уменьшается  $R_C(f_0)$  и увеличивается  $r_{\text{пп}}(f_0)$ . Оптимальный выбор  $D$  возможен путем минимизации по данному параметру суммарного сопротивления потерь в ВСЦ:  $R_{\text{пп}}(f_0) = R_C(f_0) + r_{\text{пп}}(f_0)$ .

На рисунке приведены результаты расчетов для типовых параметров конструкций мощных ВЧ и СВЧ транзисторов:  $N = 12$ ,  $r_0 = 0,025$  мм,  $l_n = 2,5$  мм,  $\sigma = 10^7$  ( $\Omega \cdot \text{м}$ ) $^{-1}$ ,  $\text{Re}\{Z_{\text{тр}k}(f_0)\} = 2,5$  Ом. Расстояние между смежными проводниками принималось рав-

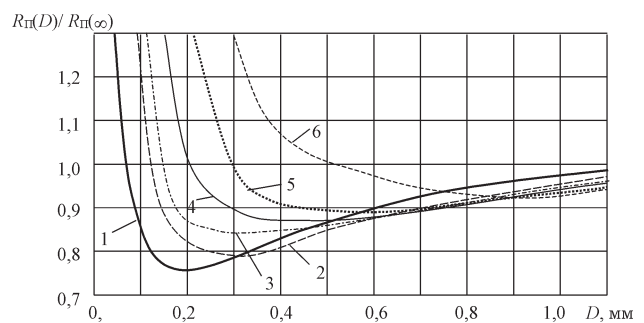


Рис. Зависимость потерь мощности во входной цепи мощного ВЧ (СВЧ) транзистора от расстояния между проводниками и проводящей поверхностью

ным 0,25 мм, емкость  $C_1$  определялась исходя из заданной частоты  $f_0$ . Кривые на рис. соответствуют частотам  $f_0$ : 1 — 300 МГц, 2 — 500 МГц, 3 — 800 МГц, 4 — 1000 МГц, 5 — 1200 МГц, 6 — 1500 МГц.

Представленные расчетные графики свидетельствуют о возможности использования проводящих поверхностей, экранирующих потоки взаимоиндукции, для снижения потерь мощности в ВСЦ ОК ТРП на частотах  $f_0 = 400\ldots1000$  МГц. Применительно к конструкции и технологии сборки транзисторов речь может идти о максимальном приближении проводников к различным проводящим и низкоомным поверхностям, например, за счет уменьшения высоты дуги проводников, а также формирования заземленных проводящих поверхностей специальной формы в непосредственной близости от рядов параллельных проводников [5]. В то же время для частот выше 1,5 ГГц применение технических решений такого рода неэффективно. Здесь более целесообразно уменьшение  $\delta L_0$  и  $\delta L_1$  за счет компенсации неоднородности значений  $L_{0\text{вик}}$  и  $L_{1\text{вик}}$  дополнительной индуктивностью контактных площадок в местах присоединения проводников к обкладкам конденсатора  $C_1$  [6] или шин металлизации общего вывода транзистора [7].

## ЛИТЕРАТУРА

1. Булгаков О.М. Компенсация уменьшения коэффициентов усиления по мощности оконечных каскадов узкодиапазонных ВЧ и СВЧ транзисторных усилителей, вызванного индуктивным взаимодействием входных цепей транзисторных ячеек / О. М. Булгаков, Б. К. Петров // Сборник докладов VII Междунар. науч.-техн. конф. «Радиолокация, навигация, связь» (Воронеж, 24—26 апреля 2001 г.). — Воронеж: ВНИИС, ВорГУ, 2001. — Т. 3. — С. 1791—1799.
2. Булгаков О.М. Потери мощности во входных цепях оконечных каскадов узкодиапазонных мощных СВЧ транзисторных радиопередатчиков и их компенсация / О. М. Булгаков // Радиотехника. — 2002. — № 11. — С. 115—117.
3. Никишин В.И. Проектирование и технология производства мощных СВЧ транзисторов / В. И. Никишин, Б. К. Петров, В. Ф. Сыноров и др. — М.: Радио и связь, 1989. — 144 с.
4. Евстигнеев А.С. Характеристики системы проводник — полупроводниковый кристалл / А. С. Евстигнеев // Электронная техника. Сер. 2. Полупроводниковые приборы. — 1982. — № 11. — С. 53—58.
5. Петров Б.К. Мощный ВЧ- и СВЧ-транзистор / Б. К. Петров, Ю. И. Китаев, О. М. Булгаков, Н. Г. Гвоздевская // А.с. 1489512 СССР, МКИ H01L 29/72.
6. Булгаков О.М. Мощный ВЧ- и СВЧ-транзистор / О. М. Булгаков, Б. К. Петров // А.с. 1464820 СССР, МКИ H01L 23/52.
7. Булгаков О.М. Двухтактная СВЧ-транзисторная сборка / О. М. Булгаков, Б. К. Петров, П. О. Гуков // А.с. 1809706 СССР, МКИ H01L 29/73.